

反 D 中間子と核子のエキゾチックな 束縛状態と散乱状態の解析

山口康宏¹

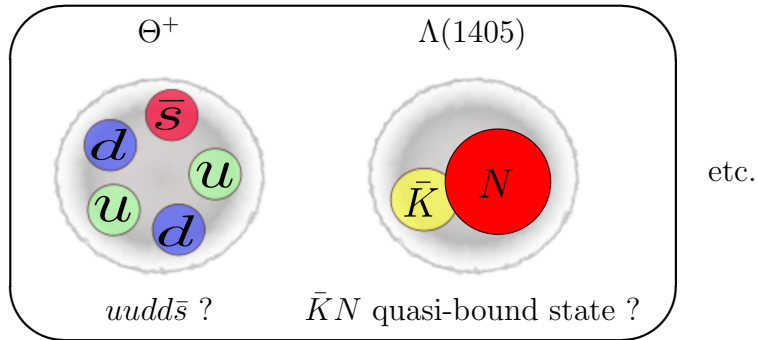
in collaboration with

大古田俊介¹, 安井繁宏², 保坂淳¹

RCNP¹, KEK²

Exotic hadron

エキゾチックハドロンは“風変わりな”構造を持っている。
 qqq や $q\bar{q}$ では説明することができない。



- ハドロン物理で盛んに研究されているテーマの一つ。

$\bar{D}(B)$ - N bound state

$$\bar{D} = \begin{cases} \bar{D}^0 (\bar{c}u) \\ D^- (\bar{c}d) \end{cases}, \quad B = \begin{cases} B^+ (\bar{b}u) \\ B^0 (\bar{b}d) \end{cases}$$

- $\bar{D}(B)$ - N bound state

$\bar{Q}q + qqq$ で構成されたのエキゾチックハドロン
* 対消滅が起きない

Previous work

- $\bar{D}N$ 系に対する実験データが不足している
- Yasui,Sudoh¹によって π 交換力による
 $\bar{D}N, BN$ 束縛状態の存在が示唆された

¹S.Yasui and K.Sudoh, Phys Rev. D **80**, 034008 (2009)

Heavy meson and Heavy quark symmetry

- Heavy quark symmetry² (HQS)
Isuger と Wise が導入²、 $m_Q \rightarrow \infty$ の極限で現れる。
 - Heavy quark spin symmetry

Spin-spin interaction $\longrightarrow 0$

$\left\{ \begin{array}{l} \text{Heavy pseudoscalar meson } \bar{D}(0^-) \text{ と} \\ \text{Heavy vector meson } \bar{D}^*(1^-) \text{ の縮退が起こる} \end{array} \right.$

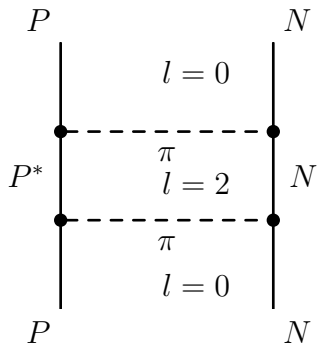
実験でも、 P と P^* の質量差は小さい

$\left\{ \begin{array}{l} m_{D^*} - m_D \sim 140 \text{ MeV} \\ m_{B^*} - m_B \sim 45 \text{ MeV} \end{array} \right.$

\longrightarrow $P^* N$ mixing が現れる

²N.Isgur and M.B.Wise, Phys. Rev. Lett. **66**,1130(1990)

P^*N mixing and π exchange interaction



$$m_{K^*} - m_K \sim 400 \text{ MeV} \times$$

$$\begin{cases} m_{D^*} - m_D \sim 140 \text{ MeV} \\ m_{B^*} - m_B \sim 45 \text{ MeV} \end{cases}$$

Couple P^*N channel with PN system

P^*N mixing が π 交換相互作用をもたらす
⇒ 束縛状態の期待

目的

- ヘビーメソンと核子の束縛状態としてのエキゾチックな状態を探す
- 相互作用として HQS に基づいた π, ρ, ω 交換を用いる
- 非相対論近似のもとでシュレディンガー方程式を解き、束縛エネルギーと S 行列を求める

Interactions

Heavy quark effective theory³

- $\mathcal{L}_{\pi HH} = ig_\pi \text{Tr} [H_b \gamma_\mu \gamma_5 \mathcal{A}_{ba}^\mu \bar{H}_a]$
- $\mathcal{L}_{vHH} = -i\beta \text{Tr} [H_b v^\mu (\rho_\mu)_{ba} \bar{H}_a] + i\lambda \text{Tr} [H_b \sigma^{\mu\nu} F_{\mu\nu}(\rho)_{ba} \bar{H}_a]$

$$H_a = \frac{1+\not{v}}{2} [P_{a\mu}^* \gamma^\mu - P_a \gamma^5], \quad \bar{H}_a = \gamma^0 H_a \gamma^0$$

vector pseudoscalar

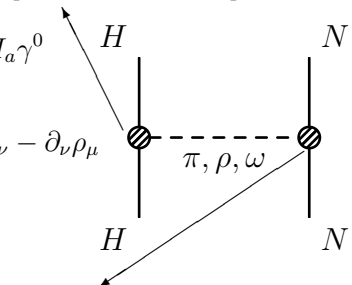
$$\mathcal{A}^\nu = \frac{i}{f_\pi} \partial^\nu \hat{\boldsymbol{\pi}}, \quad \rho_\mu = \frac{ig_v}{\sqrt{2}} \hat{\boldsymbol{\rho}}_\mu, \quad F_{\mu\nu}(\rho) = \partial_\mu \rho_\nu - \partial_\nu \rho_\mu$$

Bonn model⁴

- $\mathcal{L}_{\pi NN} = ig_{\pi NN} \bar{N}_b \gamma^5 N_a \hat{\boldsymbol{\pi}}_{ba}$
- $\mathcal{L}_{vNN} = g_{vNN} \bar{N}_b \left(\gamma^\mu (\hat{\boldsymbol{\rho}}_\mu)_{ba} + \frac{\kappa}{2m_N} \sigma_{\mu\nu} \partial^\nu (\hat{\boldsymbol{\rho}}^\mu)_{ba} \right) N_a$

³R.Casalbuoni ,et al. Phys Rept. ,281 (1997) 145

⁴R.Machleidt ,et al. Phys Rept. ,149 (1987) 1



PN and P^*N system

We investigate $J^P = 1/2^-$ and $3/2^-$ state.

- Various coupled channels for $J^P = 1/2^-, 3/2^-$ state.

$$(1) J^P = 1/2^- \text{ state} \left\{ \begin{array}{ll} PN & {}^2S_{1/2} \\ P^*N & {}^2S_{1/2}, {}^4D_{1/2} \end{array} \right. \quad \text{3-channels}$$

$$(2) J^P = 3/2^- \text{ state} \left\{ \begin{array}{ll} PN & {}^2D_{3/2} \\ P^*N & {}^4S_{3/2}, {}^4D_{3/2}, {}^2D_{3/2} \end{array} \right. \quad \text{4-channels}$$

PN and P^*N system

We investigate $J^P = 1/2^-$ and $3/2^-$ state.

- Various coupled channels for $J^P = 1/2^-, 3/2^-$ state.

$$(1) J^P = 1/2^- \text{ state} \left\{ \begin{array}{ll} PN & {}^2S_{1/2} \\ P^*N & {}^2S_{1/2}, {}^4D_{1/2} \end{array} \right. \quad \text{3-channels}$$

→ **bound state** ($I = 0$)

$$(2) J^P = 3/2^- \text{ state} \left\{ \begin{array}{ll} PN & {}^2D_{3/2} \\ P^*N & {}^4S_{3/2}, {}^4D_{3/2}, {}^2D_{3/2} \end{array} \right. \quad \text{4-channels}$$

→ no bound state

PN and P^*N system

We investigate $J^P = 1/2^-$ and $3/2^-$ state.

- Various coupled channels for $J^P = 1/2^-, 3/2^-$ state.

$$(1) J^P = 1/2^- \text{ state} \left\{ \begin{array}{ll} PN & {}^2S_{1/2} \\ P^*N & {}^2S_{1/2}, {}^4D_{1/2} \end{array} \right. \quad \text{3-channels}$$

→ **bound state** ($I = 0$)

$$(2) J^P = 3/2^- \text{ state} \left\{ \begin{array}{ll} PN & {}^2D_{3/2} \\ P^*N & {}^4S_{3/2}, {}^4D_{3/2}, {}^2D_{3/2} \end{array} \right. \quad \text{4-channels}$$

→ resonance?

PN and P^*N system

We investigate $J^P = 1/2^-$ and $3/2^-$ state.

- Various coupled channels for $J^P = 1/2^-, 3/2^-$ state.

$$(1) J^P = 1/2^- \text{ state} \left\{ \begin{array}{ll} PN & {}^2S_{1/2} \\ P^*N & {}^2S_{1/2}, {}^4D_{1/2} \end{array} \right. \quad \text{3-channels}$$

→ bound state ($I = 0$)

$$(2) J^P = 3/2^- \text{ state} \left\{ \begin{array}{ll} PN & {}^2D_{3/2} \\ P^*N & {}^4S_{3/2}, {}^4D_{3/2}, {}^2D_{3/2} \end{array} \right. \quad \text{4-channels}$$

→ resonance?

Solve coupled channel equation!

Result for $J^P = 1/2^-$ state

The bound state with $(I, J^P) = (0, 1/2^-)$

- The bound states exist in $(I, J^P) = (0, 1/2^-)$ state.

Table: Binding energy and root mean square radii in $(I, J^P) = (0, 1/2^-)$ state.

	$\bar{D}N(\pi)$	$\bar{D}N(\pi\rho\omega)$	$BN(\pi)$	$BN(\pi\rho\omega)$
E_B [MeV]	1.60	2.13	19.50	23.04
$\langle r^2 \rangle^{1/2}$ [fm]	3.5	3.2	1.3	1.2

- π 交換のみの場合と π, ρ, ω 交換がある場合を比較
→ π 交換相互作用が支配的に働いている
- $\bar{D}^* N$ mixing よりも $B^* N$ mixing の方が強い

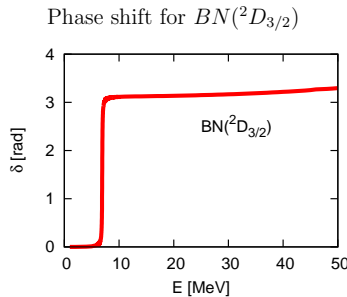
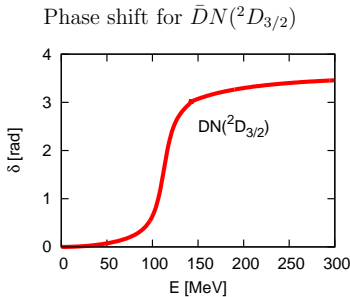
Result for $J^P = 3/2^-$ state

The scattering state with $(I, J^P) = (0, 3/2^-)$

- $J^P = 3/2^-$ 状態には束縛状態はなかった …
- Phase shift をみると

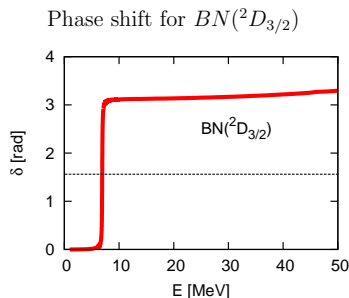
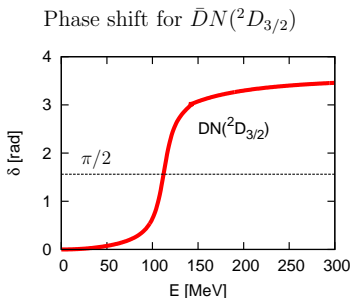
The scattering state with $(I, J^P) = (0, 3/2^-)$

- $J^P = 3/2^-$ 状態には束縛状態はなかった…
- Phase shift をみると



The scattering state with $(I, J^P) = (0, 3/2^-)$

- $J^P = 3/2^-$ 状態には束縛状態はなかった…
- Phase shift をみると

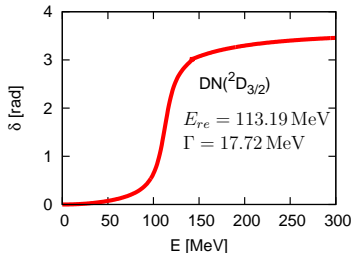


Phase shifts cross $\pi/2 \rightarrow$ Resonant state

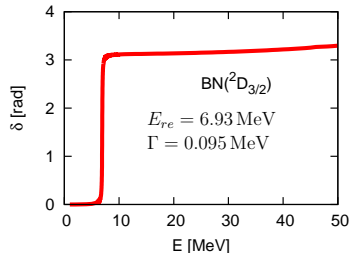
The scattering state with $(I, J^P) = (0, 3/2^-)$

新たなエキゾチックな状態を予言!

Phase shift for $\bar{D}N(^2D_{3/2})$



Phase shift for $BN(^2D_{3/2})$



Phase shifts cross $\pi/2 \rightarrow$ Resonant state

The resonance in $(I, J^P) = (0, 3/2^-)$ channel

PN と P^*N のチャンネル結合を切る

$$J^P = 3/2^- \text{ state} \left\{ \begin{array}{ll} PN & {}^2D_{3/2} \leftarrow \text{Ignored} \\ P^*N & {}^4S_{3/2}, {}^4D_{3/2}, {}^2D_{3/2} \end{array} \right. \quad \text{3-channels}$$

The resonance in $(I, J^P) = (0, 3/2^-)$ channel

PN と P^*N のチャンネル結合を切る

$$J^P = 3/2^- \text{ state} \left\{ \begin{array}{ll} PN & {}^2D_{3/2} \xleftarrow{\text{Ignored}} \\ P^*N & {}^4S_{3/2}, {}^4D_{3/2}, {}^2D_{3/2} \end{array} \right. \quad \text{3-channels}$$

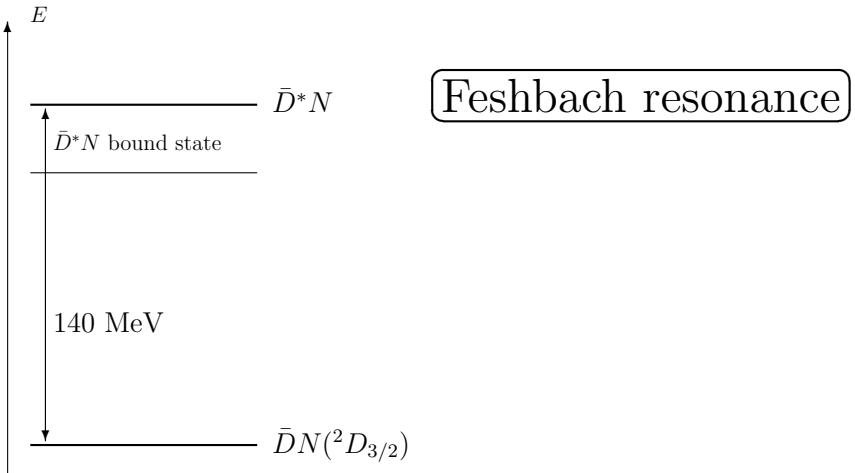
$\Rightarrow P^*N$ チャンネル単独で束縛

Table: Bounding energy for P^*N system

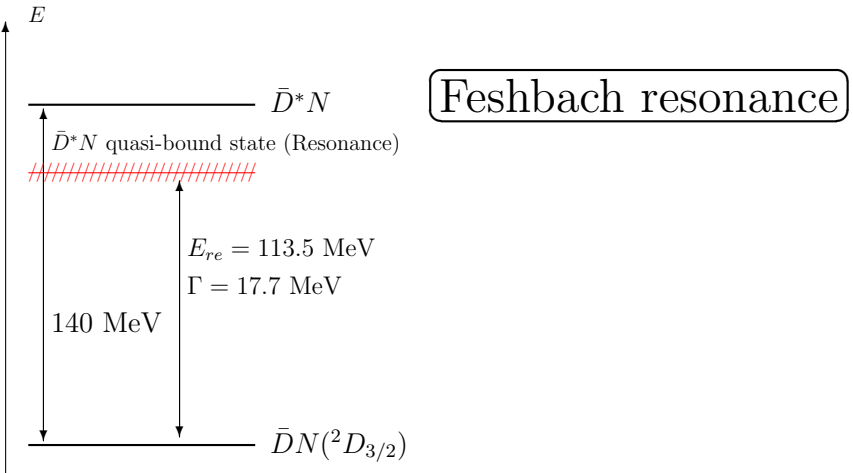
Binding energy [MeV]	
\bar{D}^*N	11.50
B^*N	21.67

この共鳴は **Feshbach 共鳴** である

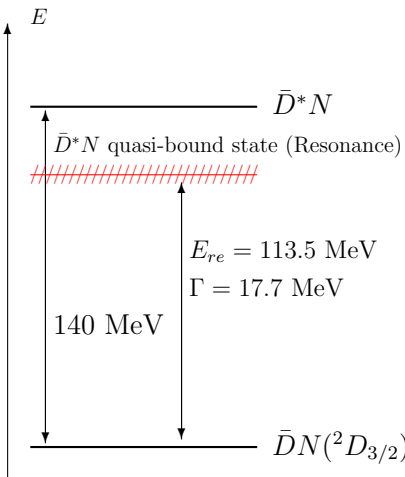
The resonance in $(I, J^P) = (0, 3/2^-)$ channel



The resonance in $(I, J^P) = (0, 3/2^-)$ channel

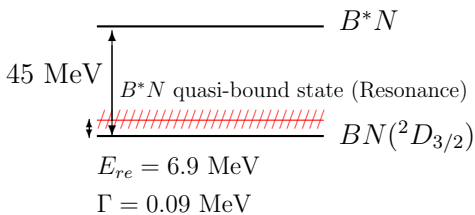


The resonance in $(I, J^P) = (0, 3/2^-)$ channel



Feshbach resonance

$\bar{D}^* N$ mixing $< B^* N$ mixing



Summary

- Heavy quark symmetry に基づいた相互作用を用いて $\bar{D}N$, BN 系の束縛状態、散乱状態の解析を行った。
- $(I, J^P) = (0, 3/2^-)$ 状態に新たな共鳴状態があることを予言した。
- 共鳴は Feshbach 共鳴であった。
- 束縛状態、共鳴状態の形成には $P^* N$ チャンネルの結合 と π 交換相互作用 が重要な役割を果たしている。

形状因子 F とカットオフ Λ

- vertex の形状因子

$$F_\alpha(\Lambda, \vec{q}) = \frac{\Lambda^2 - m_\alpha^2}{\Lambda^2 + |\vec{q}|^2}$$

- 核子の vertex のカットオフ Λ_N は Bonn potential で Deuteron の束縛エネルギーを再現するように決定する
- ヘビーメソンの vertex のカットオフ Λ_P は

$$\Lambda_D = 1.35\Lambda_N$$

$$\Lambda_B = 1.29\Lambda_N$$

Table: Cutoff parameter.

Potential	Λ_N [MeV]	Λ_D [MeV]	Λ_B [MeV]
π	830	1121	1070
π, ρ, ω	846	1142	1091